МИНЕРАЛОГИЯ

Н. П. ЕРМАКОВ, С. В. КОЛОДИЕВА, Э. М. ТАШКЕР, Б. А. ДОРОГОВИН, А. А. ФОТЧЕНКОВ

ГОМОГЕНИЗАЦИЯ ВКЛЮЧЕНИЙ И ЭЛЕКТРИЧЕСКИЕ СВОЙСТВА МИНЕРАЛОВ-ДИЭЛЕКТРИКОВ

(Представлено академиком В. И. Смирновым 29 XII 1971)

Среди различных дефектов в кристаллах особо важное место занимают газово-жидкие включения, представляющие собой большей частью субмикроскопические полости — вакуоли, заполненные минералообразующими растворами. Фазовый состав и соотношение фаз включений отличаются значительным разнообразием, что обусловливает большой интервал температур их гомогенизации, которые с учетом соответствующих поправок характеризуют температуры минералообразования (1).

Газово-жидкие включения оказывают существенное влияние на различные физические свойства минералов и должны учитываться, например,

при исследовании их электрических свойств.

В процессе изучения электропроводности (σ) изверженных горных пород некоторые исследователи ($^{2-6}$) наблюдали ее аномальное изменение с температурой. Эти аномалии выражались в уменьшении энергии активации токоносителей в граните при температуре 1250° и диабазе при \sim 870°, наличии минимумов электропроводности в серпентините, в базальте, обсидиане и других эффузивах при 600-700°, а также низкотемпературных (100-200°) минимумов электропроводности в некоторых разновидностях гранитов. Аномальные изменения электропроводности горных пород кислого состава в области высоких (600-1250°) температур авторы ($^{2-6}$) связывают с полиморфными превращениями минералов и частичным переплавлением пород, а в интервале 100-200°— с испарением содержащейся в них влаги.

При изучении электрических свойств многочисленных минералов-пиэлектриков нами установлено, что температурный коэффициет удельного объемного сопротивления ($\rho_{v} = \sigma_{v}^{-1}$) при определенных температурах уменьшается, а в некоторых случаях приобретает нулевое и положительное значение, что выражается на графиках $\ln o_V = f(T^{-1})$ в виде «ступенек» и максимумов, т. е. аномалий, аналогичных описанным для горных пород. Выявленные ступеньки не могут быть объяснены процессами формовки (7), поскольку измерения $\rho_v(T)$ проводились в режиме (8). Обрашает на себя внимание тот факт, что температурные области ступенек оказались близкими температурам гомогенизации включений, обнаруженных в тех же кристаллах. С позиций ответственности процесса гомогенизации включений за «аномальное» выполаживание И максимумы $\ln \rho_V(T^{-1})$ понятна аналогия в поведении минералов и горных пород, поскольку и в тех, и в других неизбежно наличие первичных и вторичных газово-жидких, существенно газовых или расплавных включений.

Для проверки этой гипотезы были исследованы кристаллы кварца Центрального Казахстана, Южной Якутии, Памира, искусственного кварца, искусственного кальцита и берилла Волыни. Из близко расположенных участков этих кристаллов были приготовлены образцы для измерения $\rho_v(T)$ и для наблюдения температур гомогенизации выявленных

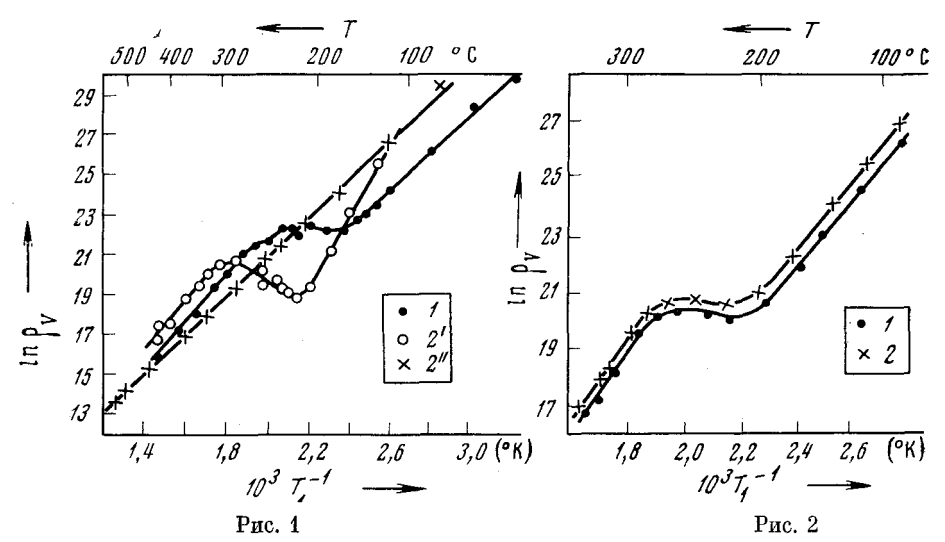


Рис. 1. Температурная зависимость ρ_V кварца Казахстана (1) и Памира (2) (2' — кристалл в процессе нагревания, 2'' — тот же кристалл в режиме охлаждения после отжига при $T \cong 540^\circ$ в течение 6 час.)

Рис. 2. Температурпая зависимость ρ_V кварца Южной Якутии. 1 — образец без видимых включений, 2 — образец с макровключениями

в кристаллах газово-жидких включений. Измерение $\rho_V(T)$ проводилось электрометрическим методом в режиме (*); для определения температур гомогенизации включений использовались метод и установка, описанные ранее одним из авторов (1).

В кристаллах кварца из Казахстана включения были овальной формы, величиной от 0,003 до 0,09 мм в поперечнике, с различным соотношением фаз газ — жидкий раствор. Гомогенизируются они при 130—220°. Включения в кристаллах кварца Южной Якутии гомогенизируются в более широком интервале температур: от 160 до 285°, а при 290° начинается их интенсивное вскрытие (декрепитация). Практически температуры гомогенизации включений находятся в полном соответствии с областями ступенек, что видно из рис. 1 и 2. Необходимо отметить, что характер зависимости $\ln \rho_V(T^{-1})$, наблюдающийся для образцов с видимыми включениями, сохраняется и для визуально бездефектных (контрольных) образцов (см. рис. 2). Этот факт подтверждает правильность наших представлений (1) о паличии микроскопических включений минералообразующей среды во всех минералах кристаллического строения.

Жидкие включения в кристаллах кварца с Памира в отличие от описанных выше характеризуются более сложным фазовым составом. Наблюдаются включения двухфазовые, трехфазовые с жидкой углекислотой и многофазовые с минералами-узниками — галитом, сильвином, карбонатом (?). Сложный и разнообразный фазовый и химический состав включений обусловливает широкую область температур их гомогенизации: $180-310^{\circ}$ — для кристалла N 4 и $140-210^{\circ}$ — для кристалла N 5. При этом с 200° начинаются гомогенизация включений с твердыми фазами и вскрытие включений с жидкой углекислотой. По-видимому, в связи с этими явлениями примерно с 200° наблюдается также и возрастание $\rho_{\rm v}$, что приводит к возникновению на графике $\ln \rho_{\rm v}(T^{-1})$ широкого максимума, граничные точки которого оказались соответствующими начальным и конечным температурам гомогенизации включений.

В исследованных кристаллах искусственного кварца двухфазовые газово-жидкие включения четко фиксируют поверхности затравочной пластины. Гомогенизируются они в очень узком интервале температур: $318-325^{\circ}$. На кривой $\ln \rho_v (T^{-\iota})$ при 318° паблюдается скачкообразное (на 0,3 порядка величины) изменение ρ_v .

Включения в кристалберилла — как газовожилкие, так и более высокотемпературные сущестгазовые. Все они имеют трубчатую форму, длина их достигает 0.09 мм и гомогенизируются они в области температур 350— 490°. почти иден**ти**чной температурному интервалу ступеньки (350—500°).

На графиках видно, что наблюдаемые ступеньки различаются по виду в зависимости от фазового и химического состава. также типа гомогенизации

включений.

Результаты проведенизмерений показывают, что аномальный ход $\ln \rho_V(T^{-1})$ при охлаждении воспроизводится, если в процессе нагревания образца мы не постигаем температур декрепитации включений, обусловивших ступеньку (рис. 3 и 4). Естественно, что нагревание образцов выше температур декрепитации необратимо изменяет внутреннюю природу кристаллов. что приводит к прямолинейному (без ступеньки) ходу $\ln \rho_v(T^{-1})$ при охлаждении и повторном нагревании образца (см. рис. 1). Такое объяснение различий в ходе $\ln \rho_{\rm v}(T^{-1})$ при нагревании и охлаждении представляется нам пригодным и для горных пород, при исследовании которых отмечались те же закономерности изменения от с температурой (4, 5).

Метод определения температур гомогенизации включений в минералах и горных породах по температурным зависимостям удельного объемного противления при первичном нагревании можно считать перспективным,

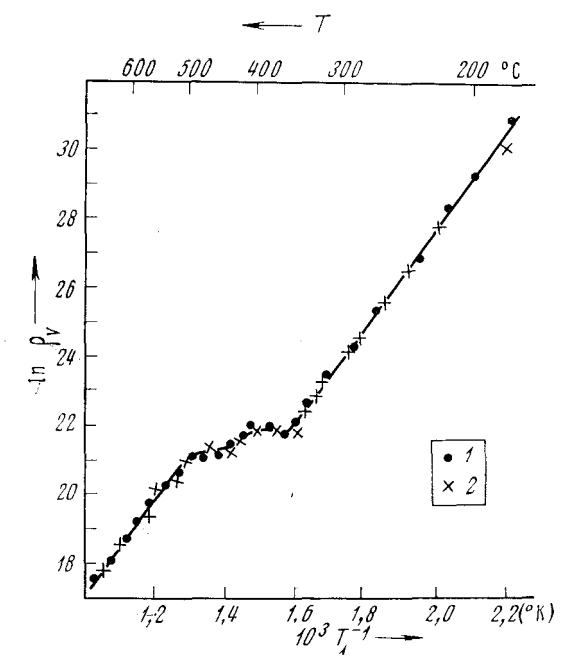


Рис. 3. Температурная зависимость ρ_V берилла Волыпи. I — в процессе нагревания, 2 — в процессе последующего охлаждения

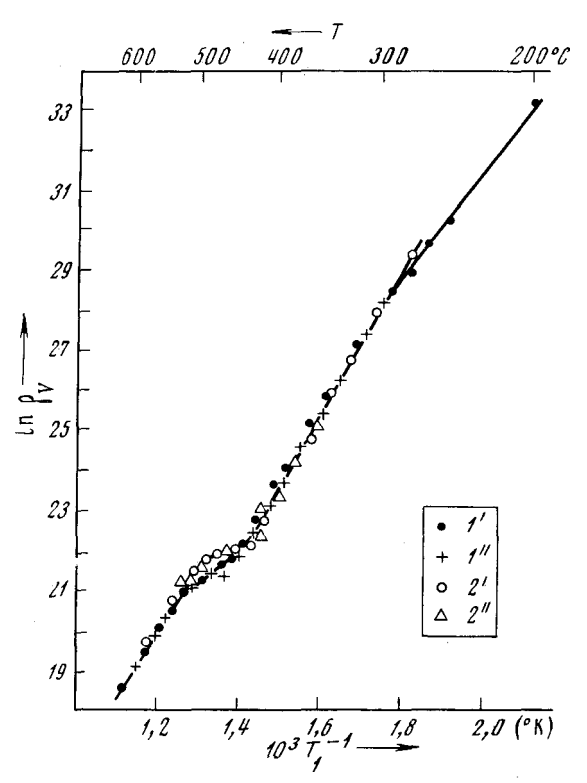


Рис. 4. Температурная зависимость ру алмаза трубки «Мир»: (образцы 1 и 2). I', Z' — в процессе натревания; I'', Z'' — в процессе охлаждения образца

поскольку из-за чрезвычайно высокой чувствительности параметра ру к химическому составу и строению образцов этот метод позволяет фиксировать процессы гомогенизации и декрепитации для очень мелких вклю-

чений, не диагностируемых при просмотре их под микроскопом.

В этой связи интересно отметить, что по зависимости $\ln \rho_v(T^{-1})$ нами впервые было установлено наличие низкотемпературных (426-500°) включений для некоторых кристаллов алмаза трубки «Мир», после чего существование в алмазах вторичных жидко-газовых включений языковидной формы, гомогенизирующихся при температурах ~430°, было подтверждено прямым визуальным методом. Этот же факт говорит о том, что косвенный метод определения температур гомогенизации включений по кривым $\ln \rho_{v}(T^{-1})$ может дать интересные результаты только в случае использования его в тесной совокупности с прямым термометрическим анализом включений.

В заключение следует отметить, что описанные аномалии зависимостей $\ln
ho_{_{V}}(T^{-1})$, которые, как здесь было показано, могут использоваться для определения температур гомогенизации включений не отражают нового физического явления, выходящего за рамки классической теории поля Максвелла (°), а, напротив, следуют из нее для любых реальных диэлектриков, макро- или, по крайней мере, микрогетерогенность которых не нуждается в доказательствах. Не касаясь вопроса о сложности геохимических систем включений, возникших в кристалле или породе, отметим лишь, что для всех диэлектриков не как исключение, а как правило выполняется условие: $\varepsilon_1\sigma_2 \neq \varepsilon_2\sigma_1$ (ε, σ — диэлектрическая проницаемость и проводимость; 1 — основной матрицы, 2 — включений), необходимое для возникновения межповерхностной поляризации. Такая поляризация приводит в случае воздействия на образец электрического поля к прилипанию носителей тока на поверхности раздела фаз, за счет чего возникает электрическое поле объемного заряда, направленное против приложенного поля и потому ослабляющее действие последнего. Теория межповерхностной поляризации, впервые разработапная Максвеллом для двухслойного диэлектрика, была далее подробно развита для непроводящих сред с проводящими и непроводящими включениями различной формы (10-12). Поэтому нет нужды в данной работе приводить подробное теоретическое рассмотрение вопроса. Заметим лишь, что даже в наиболее простом приближении двухслойного диэлектрика полный ток i, протекающий через образец площади S при воздействии на него потенциала $ar{U}_{\scriptscriptstyle 0}$, равен:

$$i = \frac{\sigma_1 \sigma_2 S U_0}{d_1 \sigma_2 + d_2 \sigma_1} + \frac{(\epsilon_1 \sigma_2 - \epsilon_2 \sigma_1)^2 d_1 d_2 S U_0}{(d_1 \epsilon_2 + d_2 \epsilon_1)^2 (d_1 \sigma_2 + d_2 \sigma_1)} \cdot e^{-t/\tau},$$

где ε и σ определены выше, d — толщина слоев, t — время, истекшее c момента замыкания электродов, т — постоянная времени диэлектрика.

Поскольку ток через образец, как видно из формулы, зависит от электрических и размерных параметров слоев или фаз, то температура начала ступеньки соответствует минимальной температуре гомогенизации включений, вызывающей изменение объемов заключенных во вмещающих вакуолях фаз, а также параметров є и о.

Поступило

ЦИТИРОВАННАЯ ЛИТЕРАТУРА

ЦИТИРОВАННАЯ ЛИТЕРАТУРА

¹ Н. П. Ер маков, Исследования мипералообразующих растворов, Харьков, 1950.

² Е. Б. Лебедев, Н. И. Хитаров, Геохимия, № 3 (1964). ³ Э. И. Пархоменко, Электрические свойства горных пород, М., 1965. ⁴ К. Noritomi, J. Mining, Coll. Akita Univ. Ser. A, 1, (1961). ⁵ Т. Мигазе, J. Fac. Sci. Hokkaido Univ. Ser. VI, 1, № 6 (1962). ⁴ А. П. Дмитриев, Л. С. Кузяев и др., Физические свойства горных пород при высоких температурах, М., 1969. ¬ И. С. Желудев, Л. В. Берман, Н. А. Тихомирова, Тр. Всесоюзн. н.- и. инст. пьезооптич. мин. сырья, 6, 195 (1962). в С. В. Колодиева, М. М. Фирсова, Кристаллография, 13, 4 (1968). ¬ J. С. Махwell, Lehrbuch der Elektrizität u. d. Magnetismus, 1, Berlin, 1883. ¬ K. W. Wagner, Arch. f. Elektrotechn., 2, 9, 371 (1914). ¬ R. W. Sillars, Inst. Elec. Eng., 80, 378 (1937). ¬ 2 R. Goffaux, Bull. Sci. Assoc. Ing. Electr. sort. Inst. electrotechn. Monteflore, 83, 1, 15 (1970). teflore, 83, 1, 15 (1970).